Московский физико-технический институт (Государственный университет) Кафедра молекулярной физики

Физические методы исследования

Лекция 15

Масс-спектрометрия Масс-анализаторы Ионные источники

г. Долгопрудный, 12 декабря 2015г.

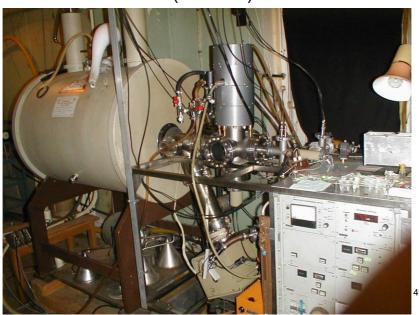
План

- Введение. История. Масс-спектрометр Астона. Ионизация электронным ударом.
- Вакуумная техника в масс-спектрометрии
- Масс-анализаторы:
 - Масс-спектрометр Астона
 - Квадрупольный масс-фильтр
 - Квадрупольная ионная ловушка
 - Времяпролетный масс-спектрометр
 - Масс-спектрометры с преобразование Фурье
- Детектирование ионов
- Ионные источники
- Решение структурных задач методами массспектрометрии

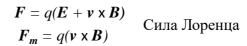
Масс-спектрометрия ионного циклотронного резонанса с преобразованием Фурье (1974 г)

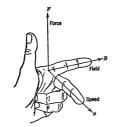
Самый точный метод масс-спектрометрии

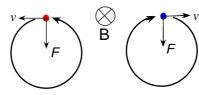
Прибор в Москве –один из первых в мире (с 1983 г)



Принципы масс-спектрометрии ИЦР







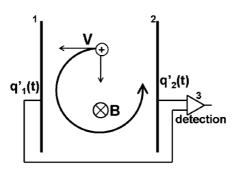
Циклотронное движение

 $F_m = qvB$

Centrifugal force: $F' = mv^2/r$

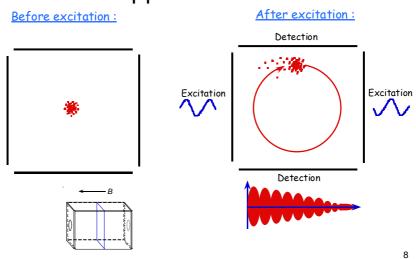
r = mv/qB

 $\omega = 2\pi f = qB/m$ - angular cyclotron frequency

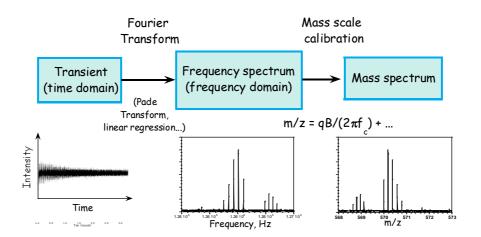


The principle of the ICR signal measurement. 1, 2: detection electrodes; $q_0(t) q_0(t)$: induced image charges; and 3: preamplifier.

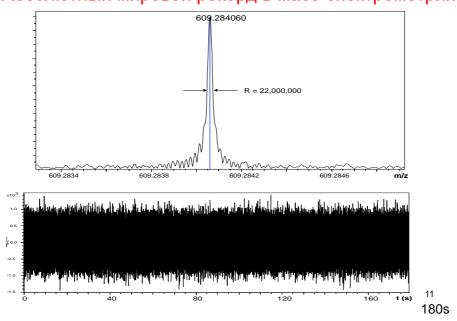
Возбуждение циклотронного движения



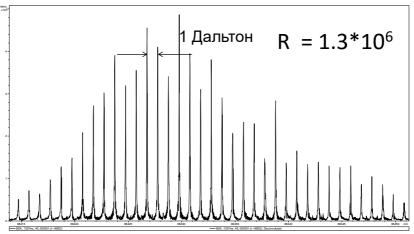
Processing Information in FTMS



Масс-спектр двухзарядного резерпина Абсолютный мировой рекорд в масс-спектрометрии



BSA, Бычий альбумин,(**66420 Да**) изолирован 28+ зарядный ион (магнит 7 Тесла)

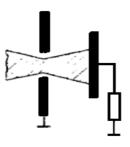


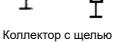
Детектирование ионов

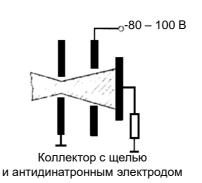
- Деструктивное
- Недеструктивное

13

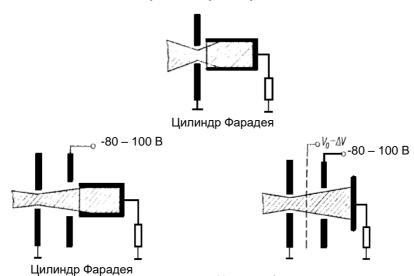
Детекторы ионов Коллекторные детекторы Простые коллекторы







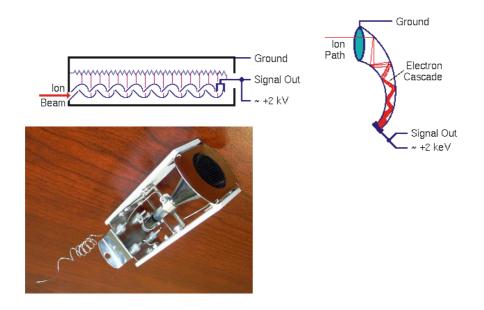
Коллекторные детекторы Цилиндр Фарадея



с антидинатронным электродом

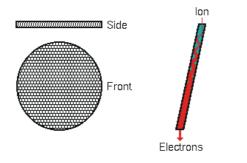
Цилиндр Фарадея с антидинатронным и подавляющим электродами

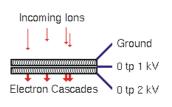
Вторичный электронный умножитель (ВЭУ)





Детектор на микроканальных пластинах (MCP – Micro Channel Plates)





Методы ионизации

Методы жесткой ионизации:

- Электронный удар
- Фотоионизация

Методы мягкой ионизации:

- Химическая ионизация
- Полевая ионизация
- Бомбардировка быстрыми атомами
- Химическая ионизация при атмосферном давлении
- Электроспрей
- Лазерная ионизация
- Лазерно-десорбционная ионизация
- Матричная лазерная десорбция/ионизация
- Методы прямой масс-спектрометрии

Методы ионизации низкомолекулярных

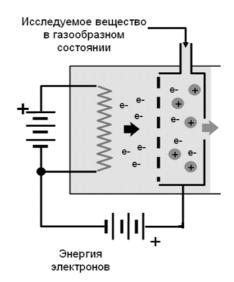
веществ

всществ		
Метод ионизации	Сокращенное название	Процесс
Ионизация электронным ударом	IE	$M + e^- \rightarrow M^+ + 2e^-$
Фотоионизация	PI	$M + h\nu \rightarrow M^+ + e^-$
Химическая ионизация	CI	$\mathrm{M+CH_5^+}{\to}\mathrm{M\cdot H^+}{+}\mathrm{CH_4}$
Полевая ионизация, полевая десорбция	FI, FD	$M \rightarrow M^+ + e^-$
Бомбардировка быстрыми атомами	FAB	$M + X \rightarrow M \cdot H^+$
Ионизация в индуктивно- связанной плазме	ICP	$M + e^{-} \rightarrow M_1 + M_2^{+} + 2e^{-}$
Термоионизация	TI	$M \rightarrow M^+ + e^-$

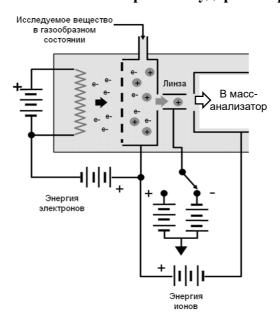
Ионный источник электронного удара. Устройство

Процесс образования электронов при термоэлектронной эмиссии описывается уравнением Ричардсона

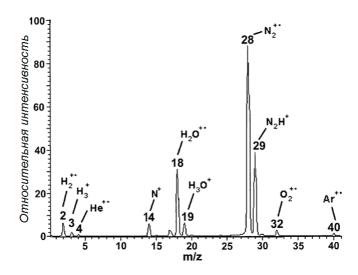
$$j_e = BT^2 \exp\left\{-\frac{A}{kT}\right\}$$



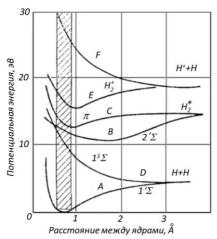
Ионный источник электронного удара. Устройство



Масс-спектр Ионизация электронным ударом. Смесь газов



Процессы, происходящие при электронном ударе



Зависимость потенциальной энергии молекулы водорода от расстояния между ядрами

$$A+e^{-} \rightarrow A^{+} + 2e^{-}$$

$$A+e^{-} \rightarrow A^{++} + 3e^{-}$$

$$AB+e^{-} \rightarrow A^{+} + B + 2e^{-}$$

$$AB+e^{-} \rightarrow A + B^{+} + 2e^{-}$$

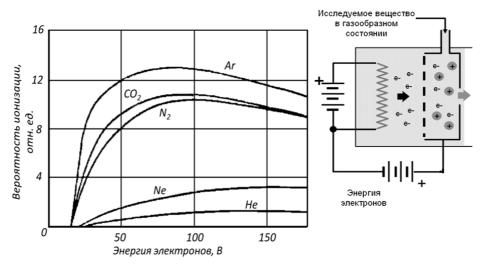
$$AB+e^{-} \rightarrow AB \cdot + e^{-} \rightarrow A^{+} + B + 2e^{-}$$

$$AB+e^{-} \rightarrow AB \cdot + e^{-} \rightarrow A + B^{+} + 2e^{-}$$

$$AB+e^{-} \rightarrow AB \cdot + e^{-} \rightarrow A^{+} + B^{-} + e^{-}$$

$$\begin{split} &H_{2}+e \to H_{2}^{+}+2e \\ &H_{2}+e \to H_{2}^{+}+2e \to H+H^{+}+2e \\ \\ &H_{2}+e \to H_{2}^{++}+3e \to 2H^{+}+3e \end{split}$$

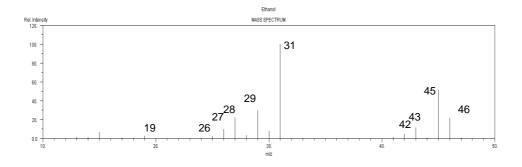
Электронный удар. Эффективное сечение ионизации

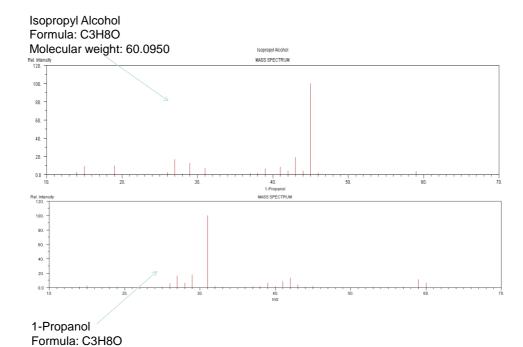


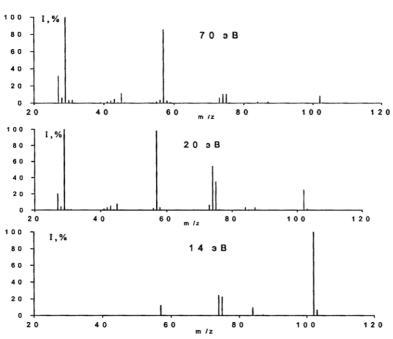
Зависимость вероятности ионизации от энергии ионизирующих электронов для различных газов

Ethanol

Formula: CH₃ CH₂OH Molecular weight: 46.0684





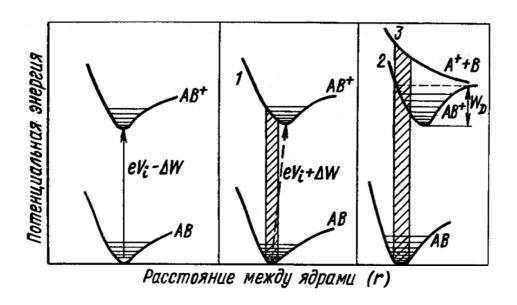


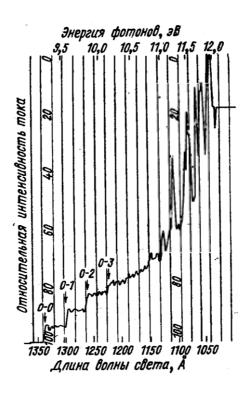
Molecular weight: 60.0950

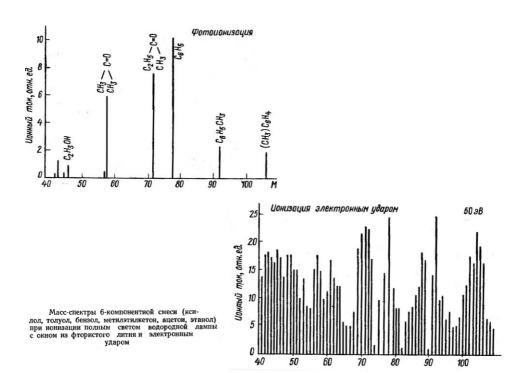
Масс-спектр электронного удара этилпропионата (молекулярная масса 102 Да) при энергиях ионизирующих электронов 70, 20 и 14 эВ.

Фотоионизация

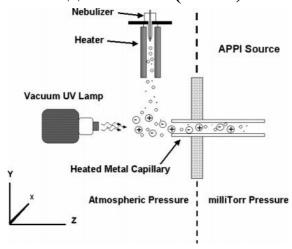








Фотоионизация при атмосферном давлении (APPI)



Long-lasting krypton lamp emits photons at 10.0 and 10.6 ev.

Toluene has a first IE of 8.3 eV

Методы мягкой ионизации

При мягкой ионизации образование ионов преимущественно происходит без фрагментации молекул исследуемых веществ

Один из принципов мягкой ионизации – присоединение носимеля заряда к исследуемой молекуле с образованием квазимолекулярного иона

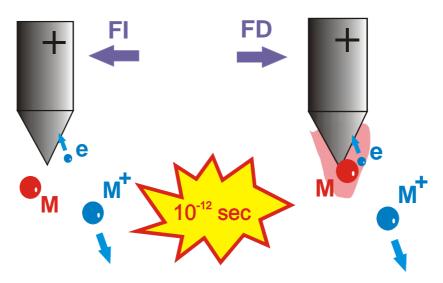
Химическая ионизация (СІ)

- CH₄: CH₄+, CH₃+, CH₂+
- $CH_4^+ + CH_4 = CH_5^+ + CH_3$
- $CH_3^+ + CH_4 = CH_5^+ + H_2$
- $CH_2^+ + CH_4 = C_2H_3^+ + H_2 + H$
- $C_2H_3^+ + CH_4 = C_3H_5^+ + H_2...$
- метонийкатион СН₅⁺
- этилкатион С₂H₅+

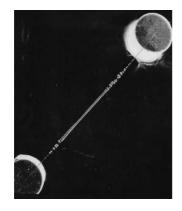


В.Л. Тальрозе

Схема источника с полевой ионизацией/ десорбцией (FI/FD)



Эммитеры для ионизации полем (Pt / Ir)

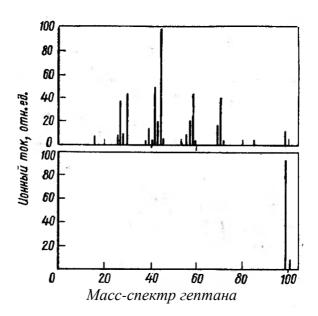




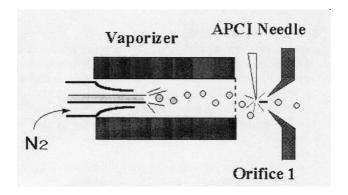


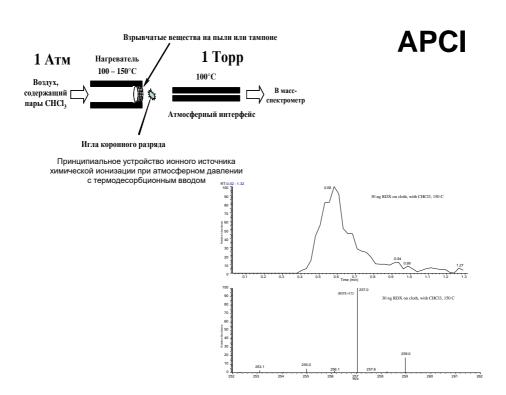
Ионизация молекул наступает при значительно меньшем потенциале при наличии «усов»

Полевая ионизация / электронный удар

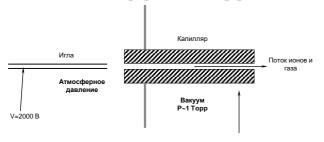


Химическая ионизация при атмосферном давлении (APCI)





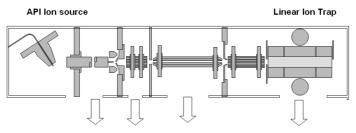
Атмосферный интерфейс для ввода ионов





Сопряжение масс-анализаторов с ионными источниками

Схема масс-спектрометра с линейной ионной ловушкой и ионным источником, работающим при атмосферном давлении



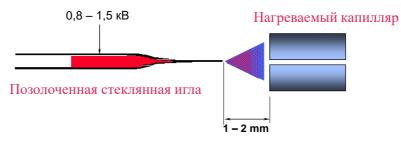
Дифференциальная откачка

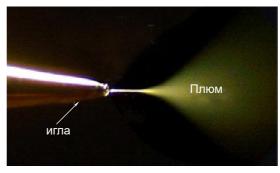


Электроспрей

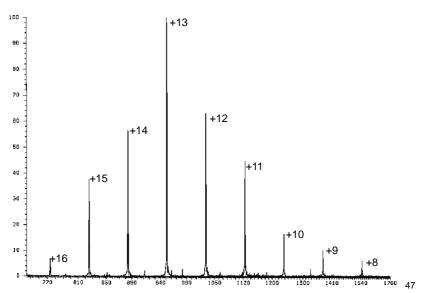


Наноспрей



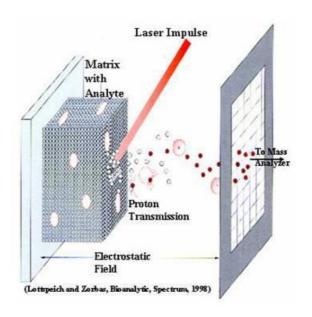


Масс-спектр белка Cytochrome C Молекулярный вес – 12300 Да



48

Лазерно-десорбционная ионизация



MALDI



Koichi Tanaka

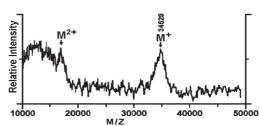
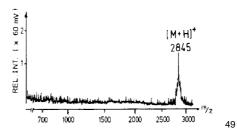


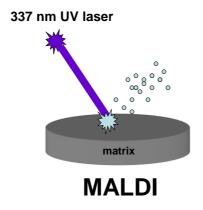
Figure 17. Molecular Ion Measurement of Carboxypeptidase-A (M.W.: ~35k Da).

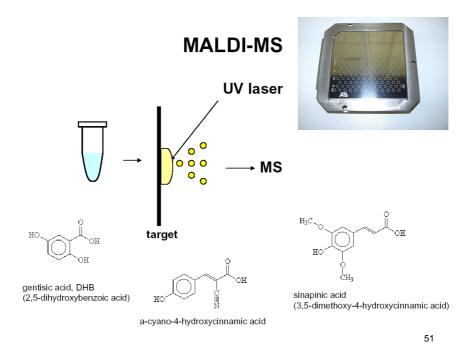




Karas M, Bachmann D, Bahr, U, Hillenkamp F Int J Mass Spectrom Ion Proc 1987

Matrix-Assisted Laser Desorption Ionization

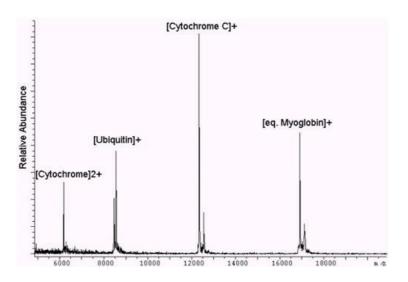


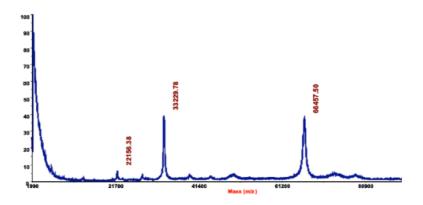


Вторичная ионизация

Ион-молекулярные реакции:







Mass spectrum of BSA (MALDI-TOF, sinapinic acid)

Всё остальное – в следующий раз

Вопросы?